

деляемой формулами (14), (15), если в этих формулах заменить ω_1 на $-ik_1$, ω_2 на $-ik_2$, и потенциал двойного слоя второго рода с матрицей, приведенной в работе [3] и названной сингулярным решением динамической задачи установившихся колебаний.

Для решения динамических задач установившихся колебаний для бесконечного тела с трещиной, размещенной по произвольной поверхности, достаточно пользоваться лишь потенциалом двойного слоя первого рода, когда заданные на поверхностях трещины внешние усилия самоуравновешенные. В случае несамуравновешенных внешних усилий решение необходимо искать в виде суммы потенциала двойного слоя первого рода и потенциала простого слоя.

1. Амензаде Ю. А. Теория упругости.— М.: Высш. школа, 1976.— 272 с.
2. Кит Г. С., Хай М. В. Интегральные уравнения пространственных задач термоупругости для тел с трещинами.— Докл. АН УССР. Сер. А, 1975, № 12, с. 1108—1112.
3. Купрадзе В. Д., Гегелиа Т. Г., Башелейшвили М. О., Бурчуладзе Т. В. Трехмерные задачи математической теории упругости и термоупругости.— М.: Наука, 1976.— 663 с.
4. Панасюк В. В., Андрейков А. Е., Ковчик С. Е. Методы оценки трещиностойкости конструкционных материалов.— Киев: Наук. думка, 1977.— 277 с.
5. Партон В. З., Морозов Е. М. Механика упруго-пластического разрушения.— М.: Наука, 1974.— 416 с.
6. Партон В. З., Перлин П. И. Интегральные уравнения теории упругости.— М.: Наука, 1977.— 312 с.

Институт прикладных проблем механики
и математики АН УССР

Поступила в редколлегию
16.02.79

УДК 539.377

Ю. М. Коляно, Е. Г. Иванык

ТЕПЛОВОЙ УДАР ПО ПОВЕРХНОСТИ СОСТАВНОЙ КРУГЛОЙ ПЛАСТИНЫ

Пусть к поверхности $z = \delta$ свободно опертой круглой пластины радиуса R с покрытием толщины ε внезапно подводится тепловой поток q . Поверхности пластины $z = -\delta$, $r = R$ предполагаются теплоизолированными (рис. 1).

Физико-механические характеристики такой системы представим через асимметричную единичную функцию в виде

$$p(z) = p_2 + (p_1 - p_2) S_-(z - \delta_1), \quad (1)$$

где p_2 и p_1 — соответственно характеристики пластины и покрытия; $\delta_1 = \delta - \varepsilon$; $S_-(\xi) =$

$$= \begin{cases} 1, & \xi \geq 0, \\ 0, & \xi < 0. \end{cases}$$

При указанных условиях нестационарное температурное поле определяется из уравнения теплопроводности

$$\frac{\partial}{\partial z} \left[\lambda(z) \frac{\partial t}{\partial z} \right] = c_v(z) \frac{\partial t}{\partial \tau}, \quad (2)$$

где λ — коэффициент теплопроводности; c_v — объемная теплоемкость; τ — время.

Краевые условия примем в виде

$$\frac{\partial t}{\partial z} \Big|_{z=\delta} = \frac{q}{\lambda_1} S_+(\tau), \quad \frac{\partial t}{\partial z} \Big|_{z=-\delta} = 0, \quad t|_{\tau=0} = 0, \quad (3)$$

где $S_+(\tau) = \begin{cases} 1, & \tau > 0, \\ 0, & \tau \leq 0. \end{cases}$

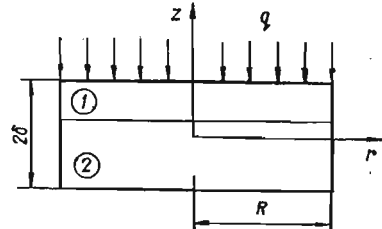


Рис. 1

Подставляя выражение (1) в уравнение (2) и применяя затем к полученному уравнению и граничным условиям (3) преобразование Лапласа по переменной τ , для нахождения изображения получаем уравнение

$$\frac{d^2 \bar{i}}{dz^2} - \left[\frac{s}{a_2} + \left(\frac{s}{a_1} - \frac{s}{a_2} \right) S_-(z - \delta_1) \right] \bar{i} = (1 - K_\lambda^{-1}) \frac{d\bar{i}}{dz} \Big|_{z=\delta_1} \delta_-(z - \delta_1) \quad (4)$$

при условиях

$$\frac{d\bar{i}}{dz} \Big|_{z=\delta} = \frac{q}{\lambda_1 s}, \quad \frac{d\bar{i}}{dz} \Big|_{z=-\delta} = 0, \quad (5)$$

где a_i — коэффициенты температуропроводности покрытия и пластины ($i = 1, 2$); $K_\lambda = \frac{\lambda_2}{\lambda_1}$; $\delta_-(\xi) = S'_-(\xi)$.

Поступая, как и в работе [1], решение уравнения (4) при условиях (5) получаем в виде

$$\bar{i} = \frac{q}{\lambda_1 s \sqrt{\frac{s}{a_1} \psi(s)}} \left[\operatorname{ch} \sqrt{\frac{s}{a_2}} (\delta + z) S_+ (\delta_1 - z) - \varphi_1(s, z) S_-(z - \delta_1) \right], \quad (6)$$

где

$$\psi(s) = \operatorname{sh} \sqrt{\frac{s}{a_1}} \varepsilon \operatorname{ch} \sqrt{\frac{s}{a_2}} (\delta + \delta_1) + K_\varepsilon \operatorname{ch} \sqrt{\frac{s}{a_1}} \varepsilon \operatorname{sh} \sqrt{\frac{s}{a_2}} (\delta + \delta_1);$$

$$K_\varepsilon = K_\lambda K_o^{-\frac{1}{2}}; \quad K_a = \frac{a_2}{a_1};$$

$$\varphi_1(s, z) = K_\varepsilon \operatorname{sh} \sqrt{\frac{s}{a_1}} (\delta_1 - z) \operatorname{sh} \sqrt{\frac{s}{a_2}} (\delta + \delta_1) - \\ - \operatorname{ch} \sqrt{\frac{s}{a_1}} (\delta_1 - z) \operatorname{ch} \sqrt{\frac{s}{a_2}} (\delta + \delta_1); \quad S_+(\xi) = 1 - S_-(\xi).$$

Переходя в выражении (6) по формуле обращения к оригиналу, решения задачи теплопроводности находим в виде

$$t(Z, f) = q^* \left\{ \left[l_1(u, Z) + 2 \sum_{i=1}^{\infty} \frac{\cos \mu_i (1 + Z)}{\mu_i^2 \Delta(\mu_i)} e^{-\mu_i^2 f} \right] S_+(d_1 - Z) + \right. \\ \left. + \left[l_2(u, Z) + 2 \sum_{i=1}^{\infty} \frac{\Delta_1(\mu_i, Z)}{\mu_i^2 \Delta(\mu_i)} e^{-\mu_i^2 f} \right] S_-(Z - d_1) \right\}, \quad (7)$$

где

$$\Delta(\mu_i) = H_1 \cos \mu_i (2 - u) \cos \mu_i K_a^{\frac{1}{2}} u - H_2 \sin \mu_i (2 - u) \sin \mu_i K_a^{\frac{1}{2}} u, \quad u = \frac{\varepsilon}{\delta}; \\ H_1 = K_a u + K_\varepsilon K_a^{\frac{1}{2}} (2 - u); \quad H_2 = K_\varepsilon K_a u + K_a^{\frac{1}{2}} (2 - u); \quad f = \frac{a_2 \tau}{\delta^2}; \quad d_1 = \\ = \frac{\delta_1}{\delta}; \quad q^* = \frac{-q\delta}{\lambda_1}; \quad \Delta_1(\mu_i, Z) = K_\varepsilon \sin \mu_i (2 - u) \sin \mu_i K_a^{\frac{1}{2}} (d_1 - Z) + \\ + \cos \mu_i (2 - u) \cos \mu_i K_a^{\frac{1}{2}} (d_1 - Z); \quad l_1(u, Z) = l_{11} + l_{12} + l_3; \quad l_2(u, Z) = \\ = l_{11} + l_{22} + l_3; \quad Z = \frac{z}{\delta}; \quad l_{11} = -f K_a^{-\frac{1}{2}} l_0^{-1}; \quad l_3 = l_{31} l_0^{-2}; \quad l_0 = 2K_\varepsilon + \\ + u(K_o^{\frac{1}{2}} - K_\varepsilon); \quad l_{22} = l_{21} l_0^{-1}; \quad l_{21} = \frac{1}{2} [-K_a^{\frac{1}{2}} (2 - u)^2 - K_a^{\frac{3}{2}} (1 - u - Z)^2 + \\ + 2K_\varepsilon K_a (1 - u - Z)(2 - u)] K_a^{-1}; \quad l_{31} = \frac{1}{6} |u^3 K_a + 3u(2 - u)^2 + \\ + 3K_\varepsilon K_a^{\frac{1}{2}} u^2 (2 - u) + K_\varepsilon K_a^{-\frac{1}{2}} (2 - u)^3|; \quad l_{12} = -\frac{1}{2} (1 + Z)^2 K_a^{-\frac{1}{2}} l_0^{-1};$$

μ_i — корни трансцендентного уравнения

$$K_e \operatorname{tg} \mu (2 - u) + \operatorname{tg} \mu K_a^{\frac{1}{2}} u = 0.$$

Поступая аналогично работе [3], после осреднения уравнений движения и соотношений Дюгамеля — Неймана по толщине пластинки для определения прогиба W получаем следующее уравнение:

$$\Delta \Delta W + \kappa_*^2 \ddot{W} = 0 \quad (8)$$

Краевые условия примем в виде

$$W = 0, \quad \frac{\partial W}{\partial f} = 0 \quad \text{при } f = 0, \quad (9)$$

$$W = 0, \quad \frac{\partial^2 W}{\partial \rho^2} + \frac{\nu_*}{\rho} \frac{\partial W}{\partial \rho} + m_i^* = 0 \quad \text{при } \rho = 1. \quad (10)$$

Здесь

$$\kappa_*^2 = \Omega_* D_*^{-1}; \quad D_* = 2\rho_2 \delta + (\rho_1 - \rho_2) \varepsilon; \quad \rho = \frac{r}{R}; \quad \nu_* = \nu_2 B_2; \quad W = \frac{\lambda_1 w}{\alpha_l^{(1)q} (1 + \nu_2) R^2};$$

$$D_* = \frac{\eta_2 \delta^3}{3} \{ [1 + (1 - u)^3] + K_\eta^{-1} [1 - (1 - u)^3] \}; \quad \Delta = \frac{1}{\rho} \frac{\partial}{\partial \rho} \left(\rho \frac{\partial}{\partial \rho} \right); \quad K_\eta = \frac{\eta_2}{\eta_1};$$

$$B_2 = \frac{m_2}{m_1}; \quad m_1 = m_{01}^+ + K_\nu^{-1} K_E^{-1} \frac{1 - \nu_2^2}{1 - \nu_1^2} m_{01}^-; \quad K_\nu = \frac{\nu_2}{\nu_1}; \quad K_E = \frac{E_2}{E_1};$$

$$m_2 = m_{01}^+ + K_E^{-1} m_{01}^-; \quad m_{01}^\pm = 1 \pm (1 - u)^3; \quad m_i^* = k_1 \left[k_2 + 2 \sum_{i=1}^{\infty} \frac{\Delta_2(\mu_i)}{\mu_i^4 \Delta(\mu_i)} e^{-\mu_i^2 f} \right];$$

$$k_1 = \frac{m_2}{3}; \quad k_2 = k_{21} + k_{22} + k_{23} + k_{24}; \quad k_{21} = k_0 k_3; \quad k_0 = K_E^{-1} \frac{1 - \nu_2}{1 - \nu_1} - K_\alpha;$$

$$k_3 = \frac{1}{2} [(1 - u)^2 - 1] f l_0^{-1} K_a^{-\frac{1}{2}}; \quad K_\alpha = \frac{\alpha_l^{(2)}}{\alpha_l^{(1)}}; \quad k_{22} = \frac{1}{2} k_0 l_{31} l_0^{-2} [(1 - u)^2 - 1];$$

$$k_{23} = k_{01} k_4; \quad k_{01} = k_0 + K_\alpha; \quad k_4 = \frac{k_5}{24 K_a l_0}; \quad k_5 = 4 K_e K_a u^2 (2 - u) (u - 3) - \\ - 6 K_a^{\frac{1}{2}} (2 - u)^2 [1 - (1 - u)^2] - K_a^{\frac{3}{2}} u^3 (4 - u); \quad k_{24} = \frac{K_\alpha (2 - u)^3 (2 - 3u)}{24 \sqrt{K_a} l_0};$$

$$\Delta_2(\mu_i) = K_\alpha [\cos \mu_i (2 - u) - 1 + \mu_i (1 - u) \sin \mu_i (2 - u)] +$$

$$+ k_{01} \{ K_a^{-1} \cos \mu_i (2 - u) [\cos \mu_i K_a^{\frac{1}{2}} u - 1] - K_e \sin \mu_i (2 - u) [K_a^{-1} \sin \mu_i K_a^{\frac{1}{2}} u -$$

$$- K_a^{-\frac{1}{2}} \mu_i (2 - u)] \}; \quad \eta_i = \gamma_i \left(1 + \frac{\mu_i}{\lambda_i} \right); \quad \gamma_i = \frac{2 \lambda_i \mu_i}{\lambda_i + 2 \mu_i};$$

λ_i, μ_i — коэффициенты Ляме; ν_i — коэффициент Пуассона; $\alpha_l^{(i)}$ — коэффициент температурного расширения.

Представляя прогиб, как и в работе [2], в виде суммы квазистатической составляющей W_{st} и динамической составляющей W_d , где W_{st} и W_d удовлетворяют соответствующим уравнениям при аналогичных краевых условиях, получаем их выражения в следующем виде:

$$W_{st} = 2k_1 \left\{ k_2 \sum_{m=1}^{\infty} \frac{\eta_m(\rho)}{\alpha_m^2 D_m} + 2 \sum_{m=1}^{\infty} \frac{\eta_m(\rho)}{\alpha_m^2 D_m} \sum_{i=1}^{\infty} \frac{\Delta_2(\mu_i)}{\mu_i^4 \Delta(\mu_i)} e^{-\mu_i^2 f} \right\}, \quad (11)$$

$$W_d = 2k_1 \left\{ 2 \sum_{m=1}^{\infty} \frac{\eta_m(\rho)}{\alpha_m^2 D_m} \sum_{i=1}^{\infty} \frac{\Delta_2(\mu_i)}{\mu_i^2 \Delta(\mu_i)} \frac{\beta_m \sin \beta_m f + \mu_i^2 (\cos \beta_m f - e^{-\mu_i^2 f})}{\mu_i^4 + \beta_m^2} - \right. \\ \left. - k_{21}^* \sum_{m=1}^{\infty} \frac{\eta_m(\rho)}{\alpha_m^2 D_m} \frac{\sin \beta_m f}{\beta_m} \right\}, \quad (12)$$

где

$$\eta_m(\rho) = I_0(\alpha_m) J_0(\alpha_m \rho) - J_0(\alpha_m) I_0(\alpha_m \rho); \quad \beta_m = \frac{\alpha_m^2 B^2}{b_1}; \quad B = \frac{1}{\sqrt{\kappa}};$$

$$\kappa^2 = \frac{\Omega_2 \alpha_2^2 R^4}{D_2 \delta^4}; \quad \Omega_2 = 2\rho_2 \delta; \quad D_2 = \frac{\eta_2 \delta^3}{3}; \quad k_{21} = \frac{k_{21}}{j};$$

$$b_1^2 = 2 \left[1 + \frac{1}{2} (K_\rho^{-1} - 1) u \right] m_2^{-1}; \quad K_\rho = \frac{\rho_2}{\rho_1}; \quad D_m = \alpha_m [I_0(\alpha_m) J_1(\alpha_m) - J_0(\alpha_m) I_1(\alpha_m)] - (1 + \nu_*) J_0(\alpha_m) I_0(\alpha_m);$$

α_m — корни трансцендентного уравнения

$$\frac{J_1(\alpha)}{J_0(\alpha)} + \frac{I_1(\alpha)}{I_0(\alpha)} = \frac{2\alpha}{1 - \nu_*}.$$

На рис. 2 приведены графики изменения отношения полного прогиба

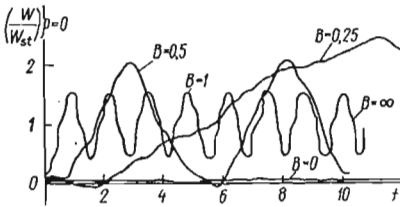


Рис. 2

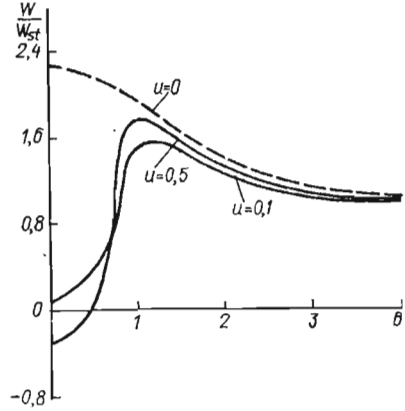


Рис. 3

в центре пластины $W|_{\rho=0}$ к квазистатическому прогибу $W_{st}|_{\rho=0}$ в зависимости от безразмерного времени при различных значениях параметра B .

Численный расчет проведен для стальной пластины с медным покрытием при отношении толщины покрытия ϵ к полутолщине пластины δ , равному 0,1. Как и в случае однородной пластины, динамический прогиб колеблется относительно статического, но при $B \rightarrow 0$ это отношение отлично от нулевого, т. е. не полностью прототвращается влияние сил инерции за счет различия физико-механических характеристик пластины и покрытия. При $B = 1$ амплитуда отношения уменьшается по сравнению с однородной пластиной в 1,33 раза. При $B \rightarrow \infty$ влияние сил инерции исчезает и $W = W_{st}$.

На рис. 3 показано изменение отношения $\left(\frac{W}{W_{st}}\right)_{\rho=0}$ в зависимости от параметра B при $f = 1$. Штриховой линией показано соответствующее отношение в случае однородной пластины. Как видно из графика, при $B \rightarrow 0$ это отношение в сравнении с однородной пластиной уменьшается и при $u = 0,5$ оно меняет знак. При $B \rightarrow \infty$ отношение стремится к квазистатическому.

1. *Иванык Е. Г.* Одномерная динамическая задача термоупругости для кусочно-однородного полупространства. — В кн.: Математические методы в термомеханике. Киев: Наук. думка, 1978, с. 137—144.
2. *Коваленко А. Д.* Избранные труды. — Киев: Наук. думка, 1976. — 762 с.
3. *Коляно Ю. М., Попович В. С.* Уравнения термоупругости неоднородных и кусочно-однородных пластин. — В кн.: Математические методы в термомеханике. Киев: Наук. думка, 1978, с. 50—63.

Институт прикладных проблем механики
и математики АН УССР

Поступила в редколлегию
19.12.78